

⇒ G enthält mind. $\frac{n}{2}$ Knoten vom Grad ≤ 11 .

Denn: Ann: nein.

⇒ mind. $\frac{n}{2}$ Knoten sind vom Grad > 11 bzw. dann ≥ 12 .

⇒ $\sum_{v \in V} \text{degree}(v) \geq \frac{n}{2} \cdot 12 = 6n$

⇒ ∇ zu (*)

|| (*) sagt $\sum_{v \in V} \text{degree}(v) < 6n$!

Betrachte Algorithmus:

Alg. startet mit Markierung der drei begrenzten Knoten.

In diesem Moment gibt es mind. $\frac{n}{2} - 3$ unmarkierte Knoten mit Grad ≤ 11 .

Dann wählt der Alg. einen dieser Knoten und markiert ihn zusammen mit seinen höchstens 11 Nachbarn.

Das wird solange wiederholt bis es keine unmarkierten Knoten mit Grad ≤ 11 mehr gibt.

Deshalb werden während jeder Iteration höchstens 12 Knoten markiert.

Es gibt also mindestens $\lfloor \frac{1}{12} (\frac{n}{2} - 3) \rfloor$

Während jeder Iteration wird ein Knoten zu I hinzugefügt.

Ergebnis: \forall Triang. G gilt: G enthält unabh. Knotenmenge I , so dass

1) $|I| \geq \lfloor \frac{1}{12} (\frac{n}{2} - 3) \rfloor$

2) $\forall v \in I: \text{degree}(v) \leq 11$

3) I enthält keinen der drei Randknoten.

4) I kann in Zeit $O(n)$ berechnet werden.

→ 3.4.5.9 Lemma: Sei I eine unabh. Knotenmenge von G gemäß 3.4.5.8.

Sei G' der Graph, der durch Entfernen von I aus G entsteht

⇒ 1) Jede Fläche von G' ist ein 1-faches Polygon mit maximal 11 Knoten

2) Die äußeren Flächen (Dreiecke) von G und G' sind gleich.

→ 3.4.5.10 Alg. zur Konstruktion der Datenstruktur D zur Darstellung der Folge $S_1 \dots S_k$:

Datenstruktur D : Knoten + Pointer.

Knoten v speichert ein Dreieck t $v = n(t)$.

Triangulierung S : Pkte, Kanten, Flächen

$n_i = |S_i| = \#$ der Pkte.

1. $i \leftarrow 1, S_i \leftarrow G$.

2. \forall Dreiecke t in G do

3. erzeuge einen Knoten $n(t)$

4. od.

5. while $|S_i| > 3$ do

6. berechne unabh. Knotenmenge I in S_i mit mind. $\lfloor \frac{1}{12} (\frac{n}{2} - 3) \rfloor$ Knoten, die nicht am Rand liegen und maximal Grad 11 haben.

7. Entferne die Knoten von I und ihre angrenzten Kanten aus S_i

8. Trianguliere den entstandenen Graphen und nenne das Resultat S_{i+1} .

9. \forall Dreiecke t von S_{i+1} , die nicht in S_i enthalten sind (d.h. neue Dreiecke) do

10. erzeuge Knoten $n(t)$

11. \forall Knoten $n(t')$ mit $t' \in S_i$ und t' schneidet t do

12. erzeuge einen Pointer $n(t) \rightarrow n(t')$

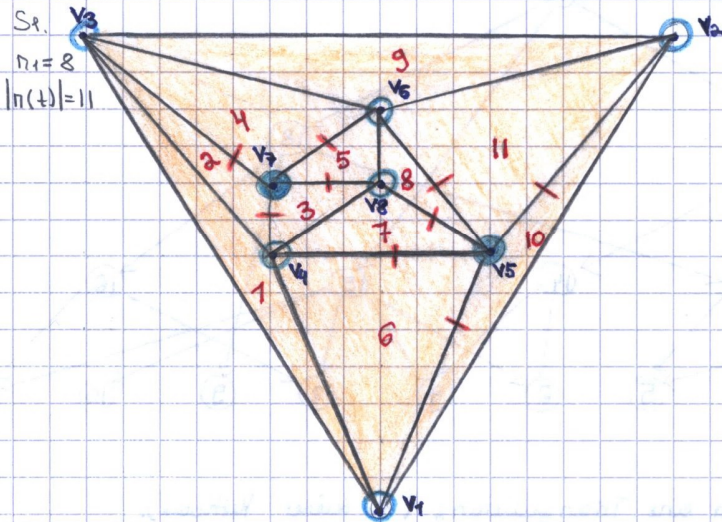
13. od.

14. od.

15. $i \leftarrow i+1$

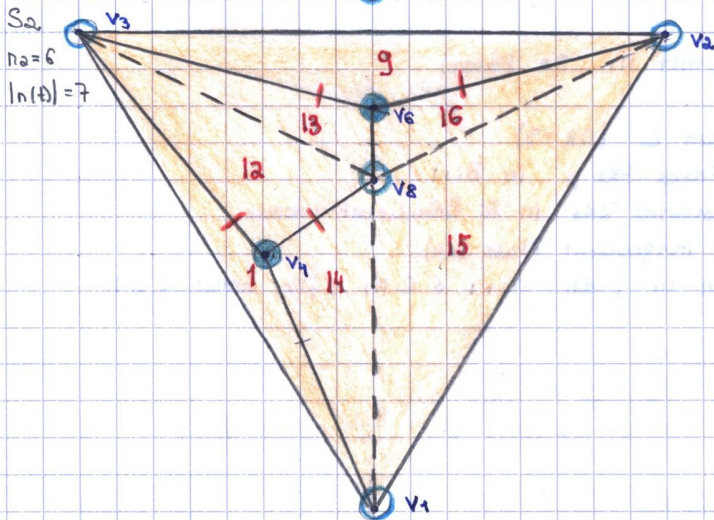
16. od.

→ 3.4.5.11. Beispiel:



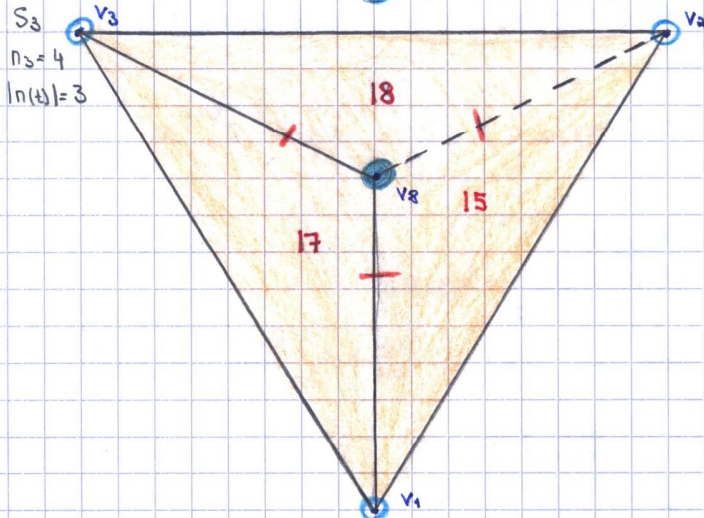
S_1
 $n_1 = 8$
 $|n(t)| = 11$

$i = 1$
 $I = \{v_5, v_7\}$
 $n(1) \dots n(11)$ $n(16)$
 new Dreiecke: $n(12), n(13), n(14), n(15)$
 $n(12) \rightarrow n(2), n(4), n(3), n(5)$
 $n(13) \rightarrow n(4), n(5)$
 $n(14) \rightarrow n(6), n(7)$
 $n(15) \rightarrow n(10), n(6), n(7), n(8), n(11)$
 $n(16) \rightarrow n(11), n(8)$



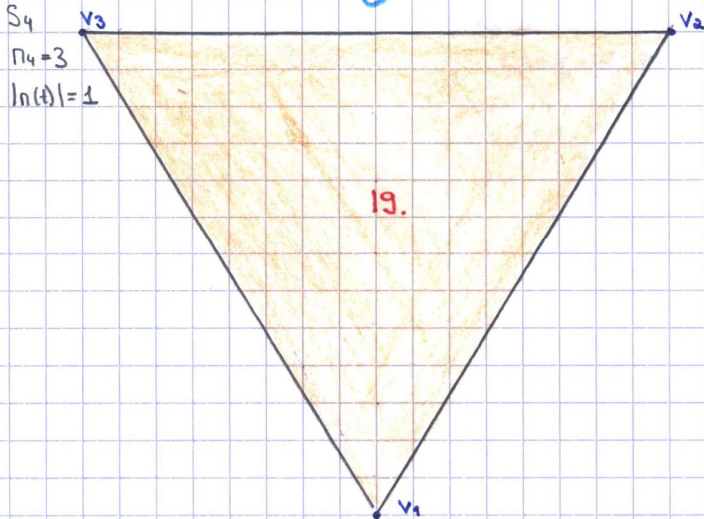
S_2
 $n_2 = 6$
 $|n(t)| = 7$

$i = 2$
 $I = \{v_6, v_4\}$
 new Dreiecke: $n(16), n(17), n(18)$
 $n(17) \rightarrow n(1), n(14), n(12)$
 $n(18) \rightarrow n(13), n(9), n(16)$
 $n(19) \rightarrow n(11)$



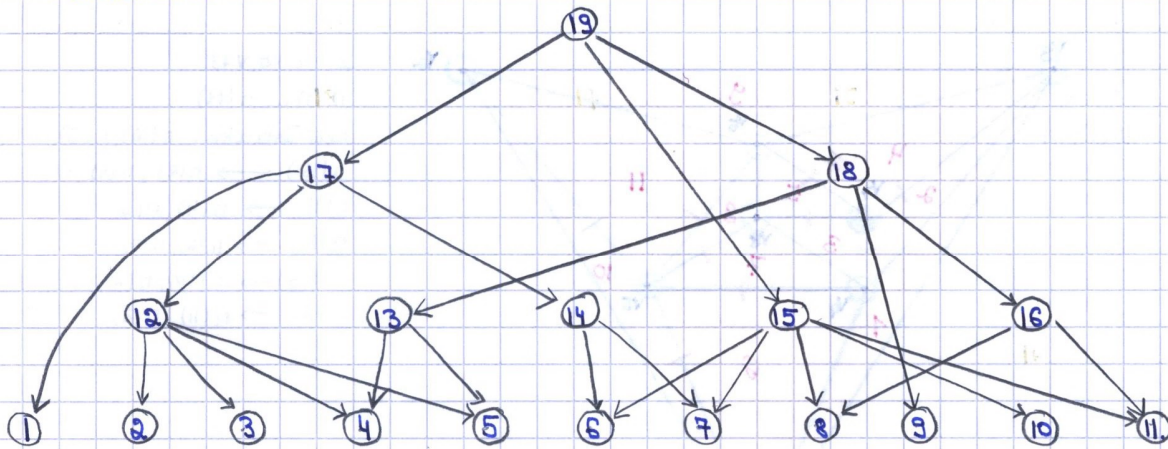
S_3
 $n_3 = 4$
 $|n(t)| = 3$

$i = 3$
 $I = \{v_8\}$
 neues Dreieck: $n(19)$
 $n(19) \rightarrow n(15), n(17), n(18)$



S_4
 $n_4 = 3$
 $|n(t)| = 1$

Datenstruktur D:



→ 3.4.5.12 Zusammenfassung:

Planare Unterteilung G ist eine Triangulierung (bei dieser Kettfolge).
(auch Rand ist Δ).

Ziel: Folge S_1, \dots, S_R (mit n_1, \dots, n_R Pkten)

- ✓ 1) $S_1 = G$
- ✓ 2) S_R besteht aus einem Δ ($n_R = 3$)
- 3) Lokalisierung von Frage-Pkt p in S_{i+1}
 $\Rightarrow p$ kann in konstanter Zeit in S_i lokalisiert werden.
- 4) S_1, \dots, S_R brauchen insgesamt Platz $O(n)$
- 5) n_{i+1} ist Bruchteil von n_i , d.h. $n_{i+1} \leq c \cdot n_i$ für konst $c < 1$
 $\Rightarrow R = O(\log n)$.

& gilt: $n_{i+1} < n_i \quad \forall i$

$\Rightarrow n_{i+1} < c_i \cdot n_i$ für $c_i > \frac{n_{i+1}}{n_i}$

Ferner: $\frac{n_{i+1}}{n_i} < 1 \Rightarrow c_i$ wählbar als $\frac{n_{i+1}}{n_i} < c_i < 1$

Gilt $\forall i$ und alle $c_i < 1$

\Rightarrow Wähle $c := c_R$ $[n_3 < \underbrace{c_3}_{<1} \cdot n_2 < \underbrace{c_3 \cdot c_2}_{<1} \cdot n_1 < c_3 \cdot n_1]$

$\Rightarrow n_{i+1} < c \cdot n_i$

$\Rightarrow 3 = n_R < c \cdot n_{R-1} < c^2 \cdot n_{R-2} < \dots < c^{R-1} \cdot n_1 = c^{R-1} \cdot n$

$\Rightarrow n > \frac{3}{c^{R-1}}$

$\Rightarrow \log_2 n > \log_2 3 + \log_2 \left(\frac{1}{c}\right)^{R-1}$

$\Rightarrow \log_2 n > \frac{\ln 3}{\ln 2} + (R-1) \cdot \underbrace{\left(\log_2 \frac{1}{c} - \log_2 c\right)}_{=0}$

$\Rightarrow R-1 < \frac{\log_2 n - \frac{\ln 3}{\ln 2}}{-\frac{\ln c}{\ln 2}} = \log_2 n \cdot \left(-\frac{\ln c}{\ln 2}\right) + \frac{\ln 3}{\ln 2 \cdot \ln c}$

$\Rightarrow R < \underbrace{\frac{\ln c}{\ln 2} \cdot \log_2 n}_{>0 \text{ weil } c < 1, \text{ const}} + \underbrace{\frac{\ln 3}{\ln 2 \cdot \ln c} + 1}_{\text{const}}$

$\Rightarrow R \leq M \cdot \log n$ mit $M = \text{const}$

$\Rightarrow R = O(\log n)$.

→ 3.4.5.13 Algorithmus für Point-Location:

Eingabe: Pkt q

Datenstruktur D .

$D.search(q)$ liefert Dreieck von G , das q enthält.

if q außerhalb Dreieck i.d. Wurzel then

Aussage: "äußeres Gebiet von G ".

else

$v \leftarrow$ Wurzel

while v kein Blatt (d.h. $D.outdeg(v) > 0$) do

forall Knoten u mit \exists Pointer $v \rightarrow u$ do

if q innerhalb Dreieck von u then

$v \leftarrow u$;

fi

od

od

Ausgabe: Dreieck von v

fi

Schleifeninvariante: Während der Ausführung der while-Schleife gilt stets, dass $q \in$ Dreieck von v .

Bemerkung: Platz:

$$\# \text{Knoten} = n_1 + n_2 + \dots + n_R \leq$$

$$\leq n_1 + c \cdot n_1 + \dots + c^{R-1} \cdot n_1 =$$

$$= n_1 \sum_{v=0}^{R-1} c^v = n_1 \cdot \frac{c^R - 1}{c - 1} = n \cdot \underbrace{\frac{c^R - 1}{c - 1}}_{\text{const}} = \mathcal{O}(n)$$

→ 3.4.5.13 Algorithmus für Point Location.

Eingabe: Pkt q , Datenstruktur D .

$D.search(q)$ liefert Dreieck von G , das q enthält

if q außerhalb Dreieck in der Wurzel then

Aussage: äußeres Gebiet von G .

else

$v \leftarrow$ Wurzel

while v kein Blatt (d.h. $D.outdeg(v) > 0$) do

forall Knoten u mit \exists Pointer $v \rightarrow u$ do

if q innerhalb Dreieck von u then

$v \leftarrow u$;

fi

od

od

Ausgabe: Dreieck von v

fi.

Schleifen-Invariante: Während der Ausführung der while-Schleife gilt stets, dass $q \in$ Dreieck von v .

Knoten $\hat{=}$ Objekt einer Klasse "Dreieck".

→ mit orient. Tests ...

Kapitel IV: Bewegungsplanung i.d. Ebene.

4.1. Einführung:

4.1.1. Allgemeines Problem:

Geg: Eine Szene S von Hindernissen (Polygone, Segmente, ...), ein Roboter R (Polygon, Kreisscheibe, ...) und zwei Pkte A, B .

Aufgabe: Beantworte die Frage, ob R von A nach B bewegt werden kann, ohne mit Hindernissen aus S zu kollidieren bzw. gib einen kollisionsfreien Weg an.

→ Piano Moves Problem.

4.1.2. Bemerkungen:

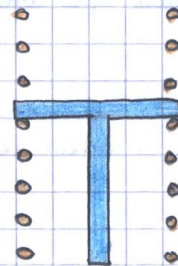
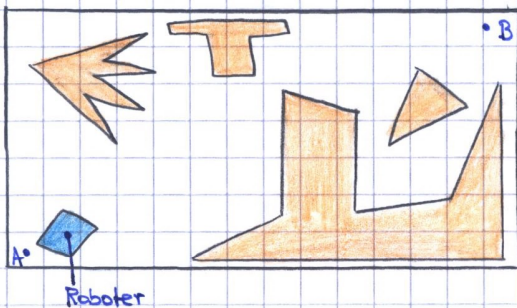
i) Wir behandeln zwei Spezialfälle:

- S ist Menge von Kurvensegmenten u. R ist eine Kreisscheibe.
- S ist Menge von konvexen Polygone, R ist konvexes Polygon.

ii) Bewegung: nur Translationen.

Es gibt Vielzahl weiterer Varianten:

- Rotationen erlaubt
- Kurzester Weg.
- Sicherster Weg.



4.2. Problem 1: R ist Kreis und S Menge von Segmenten.

4.2.1. Idee: Versuche den sichersten Weg zu finden, d.h. R hält immer max. möglichen Abstand zu den Segmenten.

4.2.2. Frage: Was sind die Orte mit maximalen Abstand zu allen Hindernissen?

4.2.3. Antwort: Alle Pkte auf (Knoten &) Kanten des Voronoi-Diagramms von S . $VD(S)$

4.2.4. Voronoi-Diagramm von Segmenten i.d. Praxis:

→ Annäherung durch setzen von Hilfpunkten (genügend dicht) und Berechnung des VD 's dieser Pkte.

Anschließend Erzeugung aller Voronoi-Kanten, die von Segmenten geschnitten werden.

4.2.5. Definition: $\forall p \in \mathbb{R}^2$ ist

a) Freiheit (p): = minimaler Abstand von p zu allen Hindernissen.

b) p heißt frei \Leftrightarrow Freiheit(p) $\geq r$, wobei r = Radius von R .

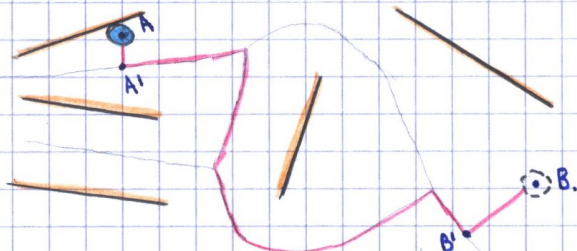
(d.h. Kreisscheibe R kann mit Mittelpunkt auf p platziert werden, ohne ein Segment zu schneiden).

c) FP := $\{p \in \mathbb{R}^2; p \text{ ist frei}\}$

4.2.6. Idee für Algorithmus:

- Bewege R von Anfangsposition A (Ann. frei Position) auf nächste Voronoi-Kante (\rightarrow Position A').
- Bewege R auf Voronoi-Kanten, die mindestens Freiheit r haben, so nah wie möglich an B heran. (\rightarrow Position B')
- Bewege R von B' nach B (Ann. B ist frei).

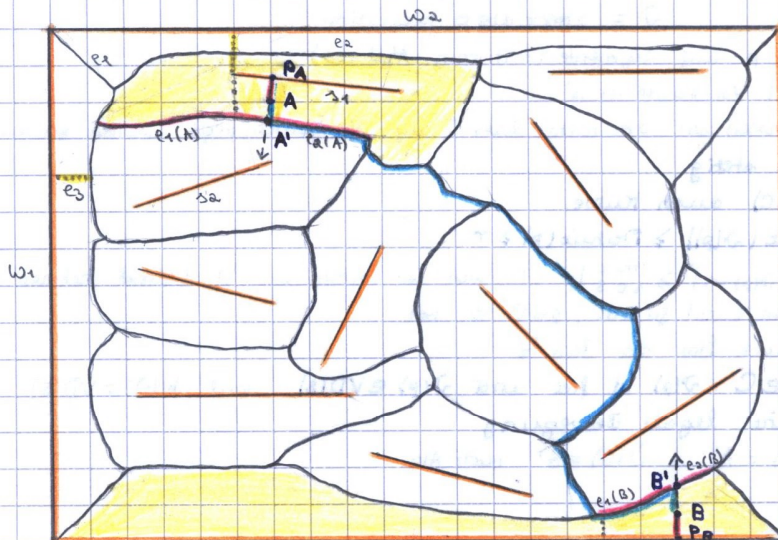
4.2.7. Beispiel:



4.2.8 Algorithmus:

1. Konstruiere $VD(S)$. Speichere für jede Kante die beiden Orte, die e definieren.
(entweder Segmentendpunkte oder Segmentmittelpunkt).
Und $Freiheit(e) :=$ minimaler Abstand eines PKtes auf e zu einem Segment.
($Freiheit(e) \geq r \Rightarrow R$ kann über e bewegt werden).
↑ Preprocessing.
2. Bestimme für A und B jeweils den nächsten Pkt P_A bzw. P_B auf einem Segment durch lineare Suche auf S (\rightarrow Point Location)
(P_A, P_B sind Schnittpkte des Lots von A bzw. B auf nächstes Segment).
D.h. Betrachte Lot von A bzw. B auf alle Segmente in S , suche nach einem Lot, der eine Voronoi-Kante schneidet \rightarrow lin. Suche.
3. $A' \leftarrow$ erster Schnittpkt des Strahls $\overrightarrow{P_A A}$ mit $VD(S)$
 $B' \leftarrow$ erster Schnittpkt des Strahls $\overrightarrow{P_B B}$ mit $VD(S)$
Falls A' bzw. B' keine Voronoi-Knoten, dann mache sie zu künstlichen Knoten durch spalten der entsprechenden Kante e in e_1, e_2 .
 \rightarrow Berechne $Freiheit(e_1), Freiheit(e_2)$!
4. Suche einen Pfad P in $VD(S)$ von A' nach B' mit $Freiheit(e) \geq r \forall e \in P$.
 \approx B. durch DFS oder BFS.
Falls kein solcher Pfad existiert, melde "keine Lösung".
 \rightarrow STOP.
5. Der Weg $A \rightarrow P \rightarrow B$ ist eine mögliche Bewegung.

4.2.9 Bsp:



1. für e_1 speichere: (w_1, w_2) $Freiheit(e_1) = 0 \text{ cm}$
für e_2 speichere: (s_1, w_2) $Freiheit(e_2) = 0,5 \text{ cm}$
für e_3 speichere: (Endpkt von s_2, w_1) $Freiheit(e_3) = 0,5 \text{ cm}$ u.s.w. ...
2. Berechne Lots von A und B auf alle Segmente (incl. Ränder)
Von den berechneten suche die mit dem kleinsten Abstand aus (lin. Suche)
Dadurch wissen wir in welcher Region sich Ort A und B befinden (point location)
Im Bsp. sind die jeweiligen Regionen gelb.
3. Teile e_1 in $e_1(A)$ und $e_1(B)$ und e_3 in $e_3(B)$ und $e_3(A)$
 $Freiheit(e_1(A)) = 0,6 \text{ cm}$, $Freiheit(e_1(B)) = 0,7 \text{ cm}$
 $Freiheit(e_3(B)) = 0,3 \text{ cm}$, $Freiheit(e_3(A)) = 1 \text{ cm}$
4. $\forall e \in \text{blau}$ gilt: $Freiheit(e) \geq r$

4.2.10 Lemma:

- 1) falls A bzw. B frei ist $\Rightarrow \exists$ Bewegung von A nach A' bzw. von B nach B'.
- 2) \exists Bewegung von A nach B $\Leftrightarrow \exists$ Bewegung von A' nach B', die nur Voronoi-Kanten besitzt.

Beweis:

- 1) Sei $VR(S)$ die Voronoi-Region, die A enthält
 $\Rightarrow P_A \in S, \forall ES$
 Seien A, B frei $\Rightarrow \text{Freiheit}(A) \geq r \wedge \text{Freiheit}(B) \geq r$
 $\text{Freiheit}(A) := \min_{s \in S} |A-s|$, $\text{Freiheit}(B) := \min_{s \in S} |B-s|$

Es gilt: $r \leq \text{Freiheit}(A) \leq \text{Freiheit}(p) \forall p \in \overline{AA'}$
 \Rightarrow Es gibt eine legale Bewegung von R von A nach A'
 weil $\text{Freiheit}(p) \geq r \forall p \in \overline{AA'}$.

$B \rightarrow B'$ analog.

- 2) " \Leftarrow ": \exists Bewegung von A' nach B', die nur Voronoi-Kanten besitzt.

Beh folgt nach Teil 1), falls A und B frei sind.

- " \Rightarrow ": z.z. \exists Bew. von A' nach B', die nur Vor. K. besitzt.

Eine beliebige legale Bewegung von A nach B wird durch eine Kurve $C \subset \mathbb{R}^2$ definiert. (obwohl eine einfache Kurve).

$\forall p \in C$ ist p frei, d.h. $\text{Freiheit}(p) \geq r$

Betr. Abb. $\mathcal{D}: FP \rightarrow VD(S)$ bea: $C \subset FP$ ($\mathcal{D}(C) = C$)

die durch Schritte 2 bis 3 des Algorithmus definiert ist.

$\mathcal{D}(p) = p'$. \mathcal{D} = Streckung o. Projektion

Betr. Lots von p auf Segmente (mit min. Abstand)

Schnittpkt mit Vor. kante ist p'

Bea: Jetzt wollen wir noch nicht, dass C auf Vor.kanten liegt, wollen genau das zeigen

\Rightarrow a). \mathcal{D} ist stetig

$\Rightarrow \mathcal{D}(C)$ auch Kurve.

b) $\text{Freiheit}(\mathcal{D}(p)) \geq \text{Freiheit}(p) \geq r$

$\min_{s \in S} |\mathcal{D}(p)-s| \geq \min_{s \in S} |p-s|$ weil wir immer den Bl. Abstand nehmen.

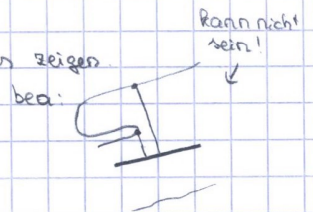
p haben zuerst gesucht, $p \in C \Rightarrow$ Beh.

$\geq r$ auch klar da Bew. \exists .

$\Rightarrow \forall p \in C: \mathcal{D}(p)$ ist frei und $\mathcal{D}(p) \in VD(S)$ weil $W(\mathcal{D}) = VD(S)$

$\Rightarrow \mathcal{D}$ ist eine legale Bewegung

Bea: $\mathcal{D}(A) = A' \wedge \mathcal{D}(B) = B'$ nach Alg.



4.2.11 Laufzeit:

Schritt 1: $O(n \log n)$ durch Plane Sweep.

Schritt 2: $O(n)$ lin. Suche in S

Schritt 3: $O(n)$ lin. Such auf $VD(S)$, P_A berechnen $\rightarrow O(1)$, A' berechnen $\rightarrow O(1)$, e_1, e_2 aufteilen und $\text{Freiheit}(e_1), \text{Freiheit}(e_2)$ berechnen $\rightarrow O(1)$

Überprüfen ob A' bzw B' Vor. Knoten $\rightarrow O(1)$, dann lin. Suche bei den gespeicherten Voronoi-Knoten.

Schritt 4: $O(n)$ Pfadsuche in $VD(S)$ (z.B. DFS)

Schritt 5: $O(n)$ Ausgabe des Pfades.

4.2.12 Satz: Bewegungsplanungsproblem für eine Kreisscheibe in einer Szene von n Liniensegmenten in der Ebene kann in Zeit $O(n \log n)$ und Platz $O(n)$ gelöst werden.

Beweis: s.o.

weil in einzelnen 5 Schritten immer Platz $O(n)$.